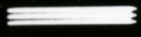
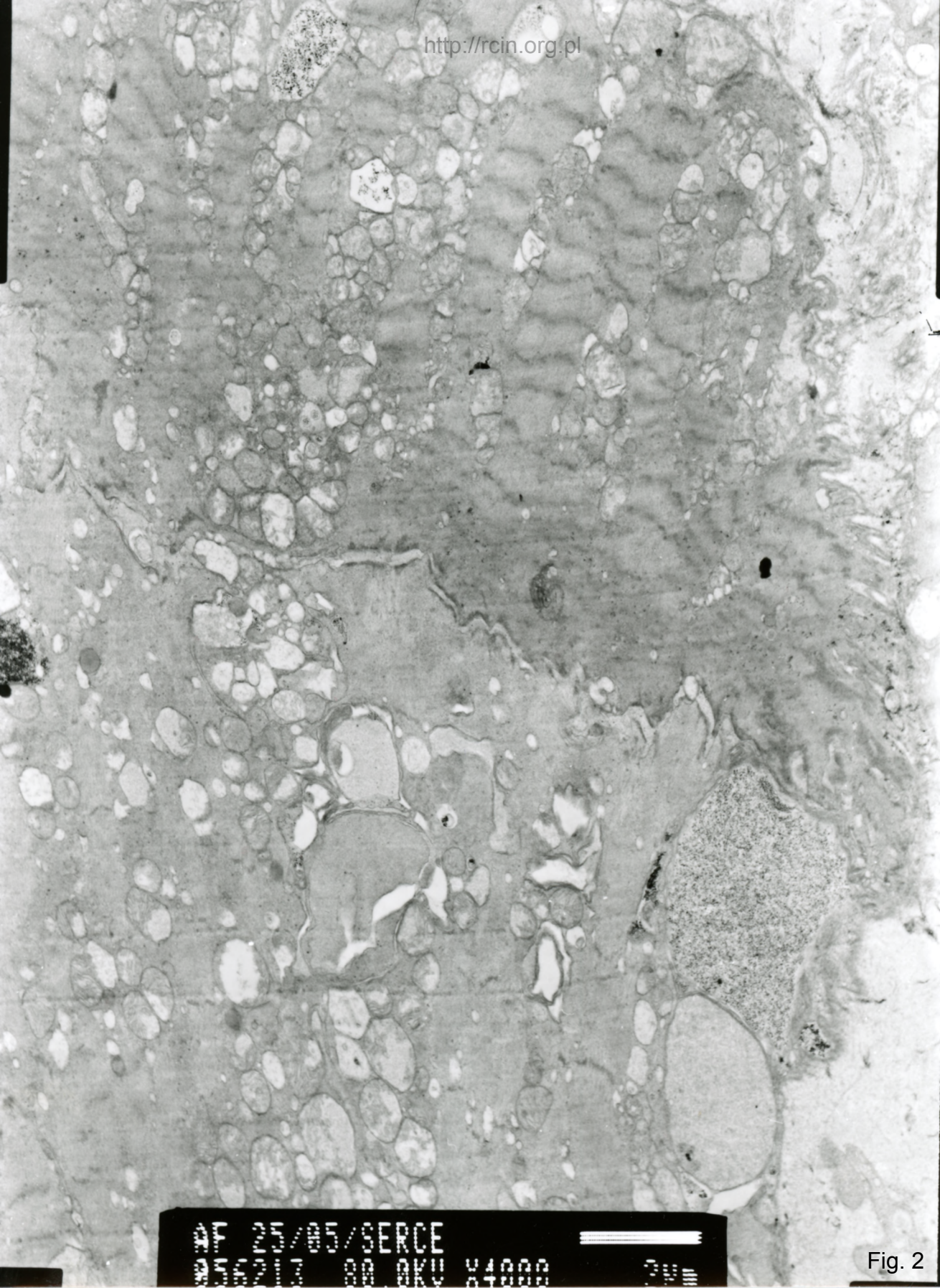


AF 25/85/SERCE  
00212 80.0KV X3000



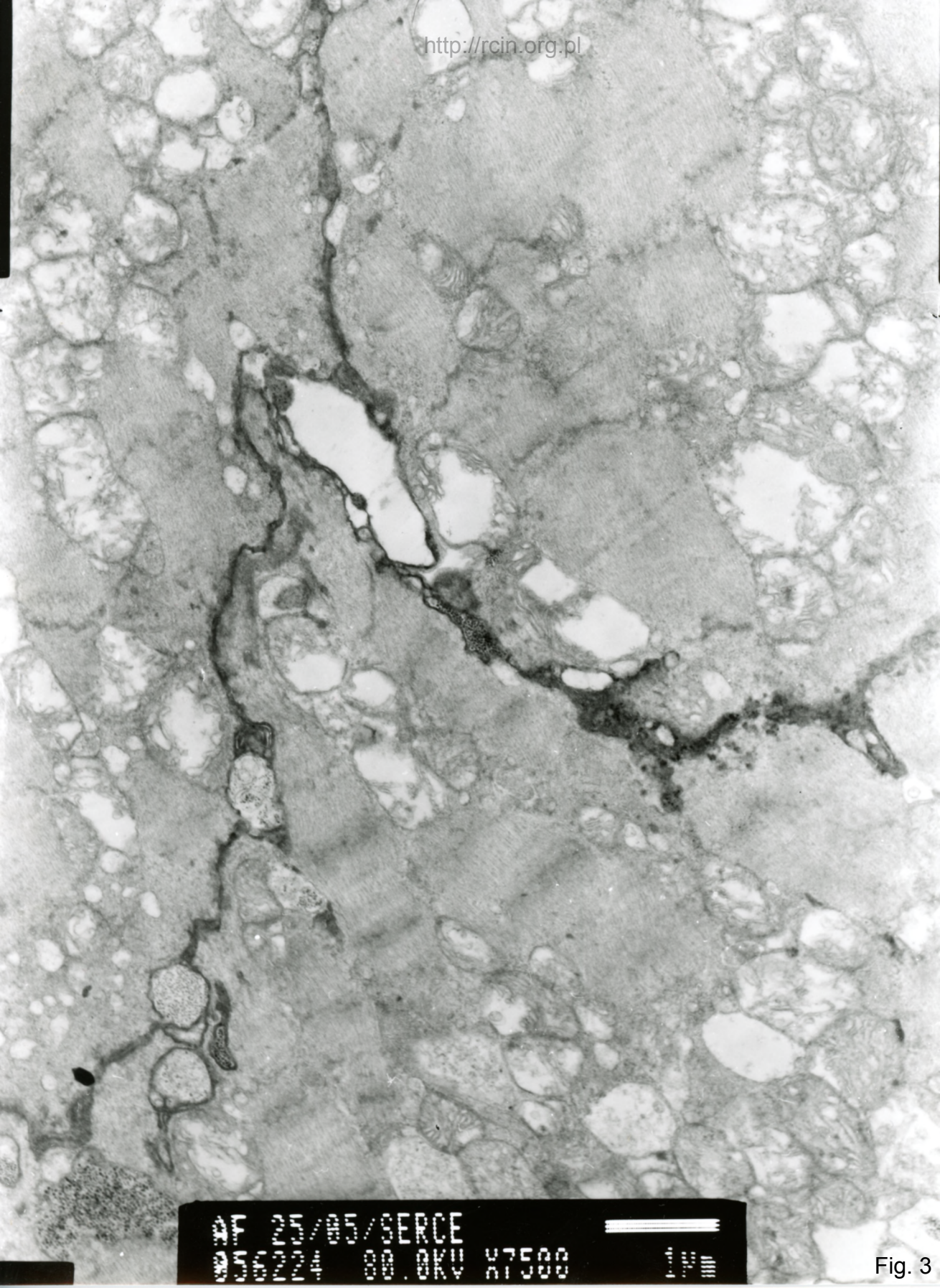
2µm

Fig. 1



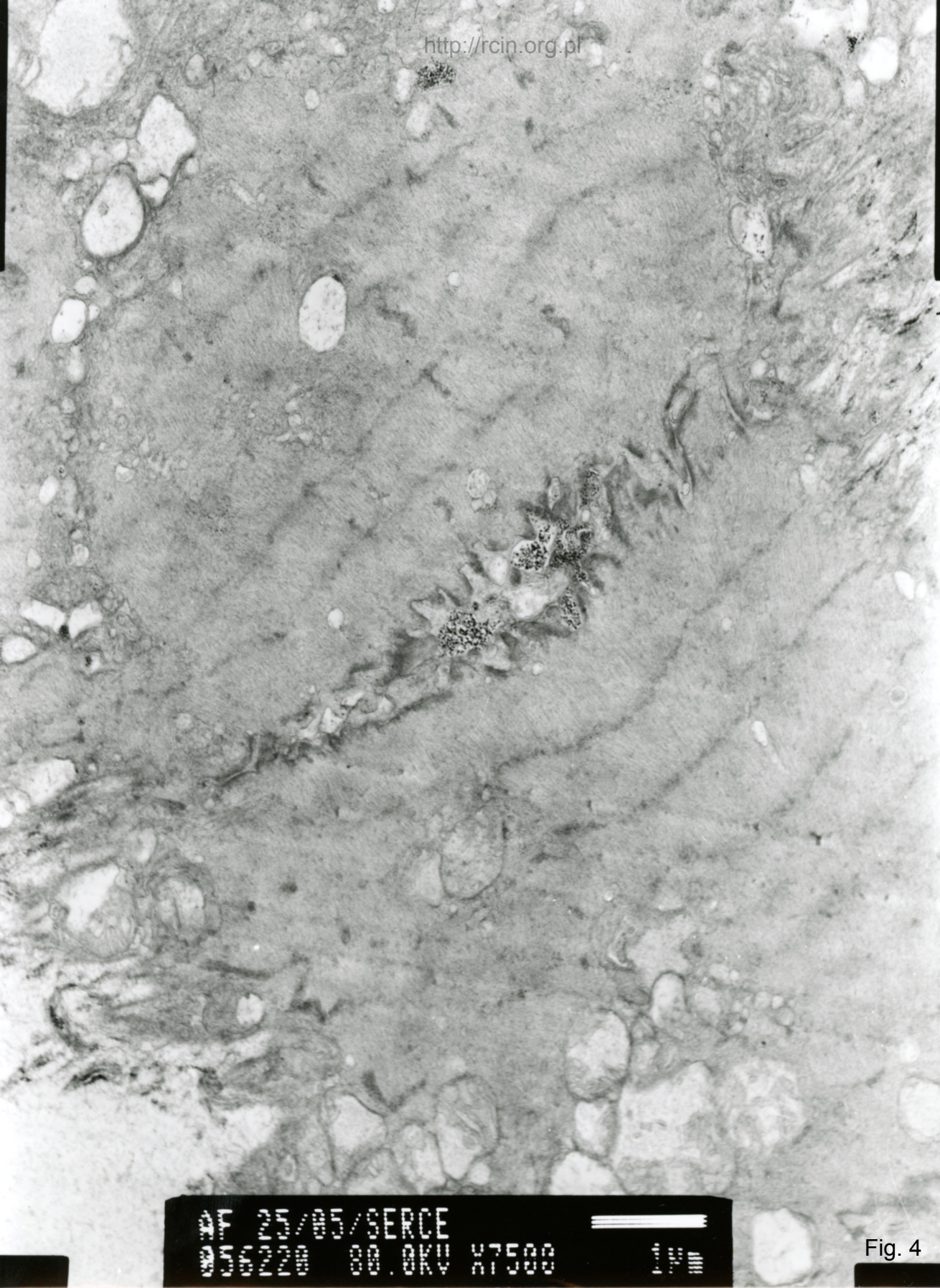
MF 25/05/SERCE  
036217 00 OKU X4000

Fig. 2



001 2/05/SERCE  
001 2/05/SERCE  
80.0KV X7500

Fig. 3

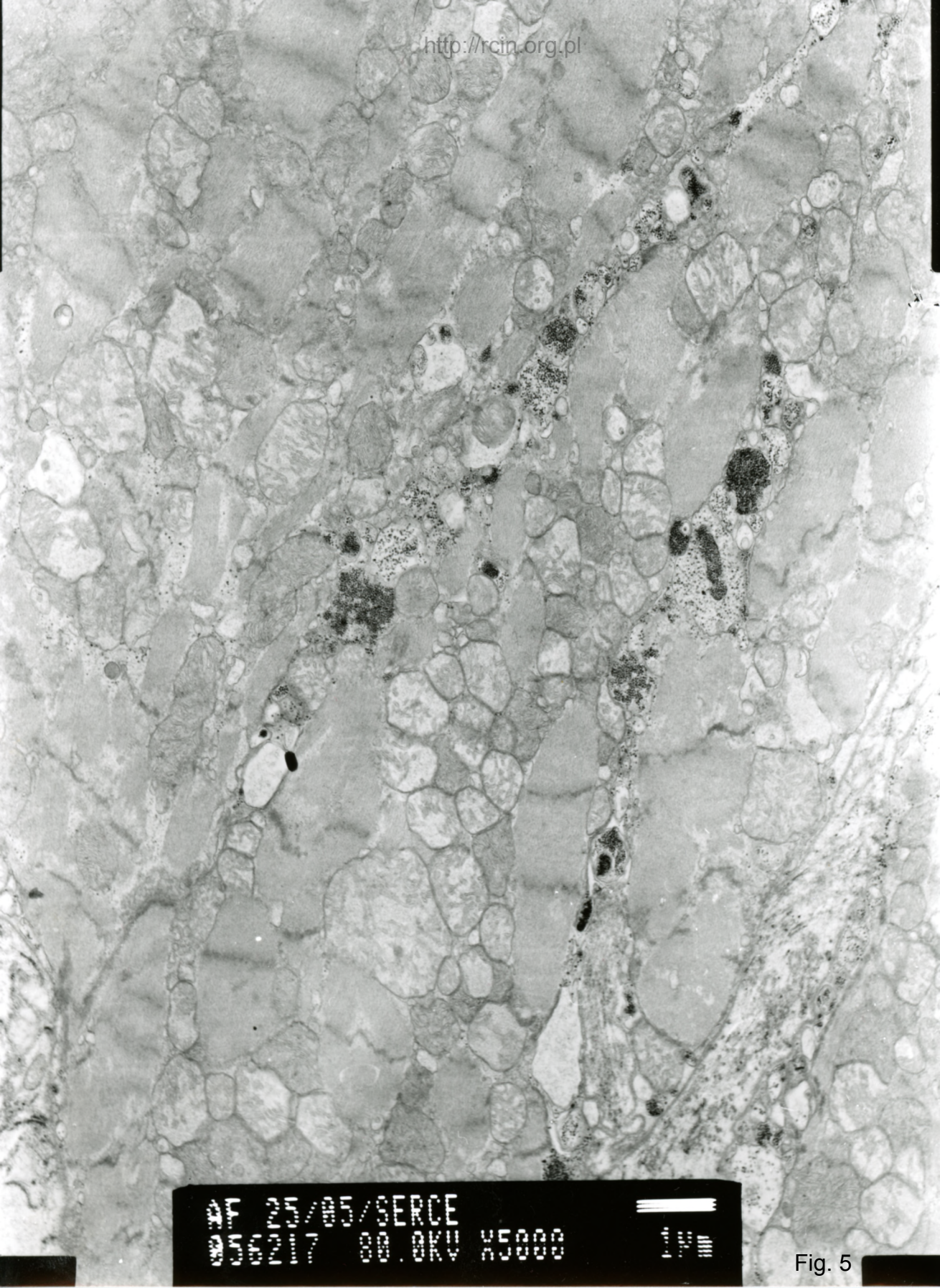


AF 25/05/SERCE  
030220 00.0KV X7500



100

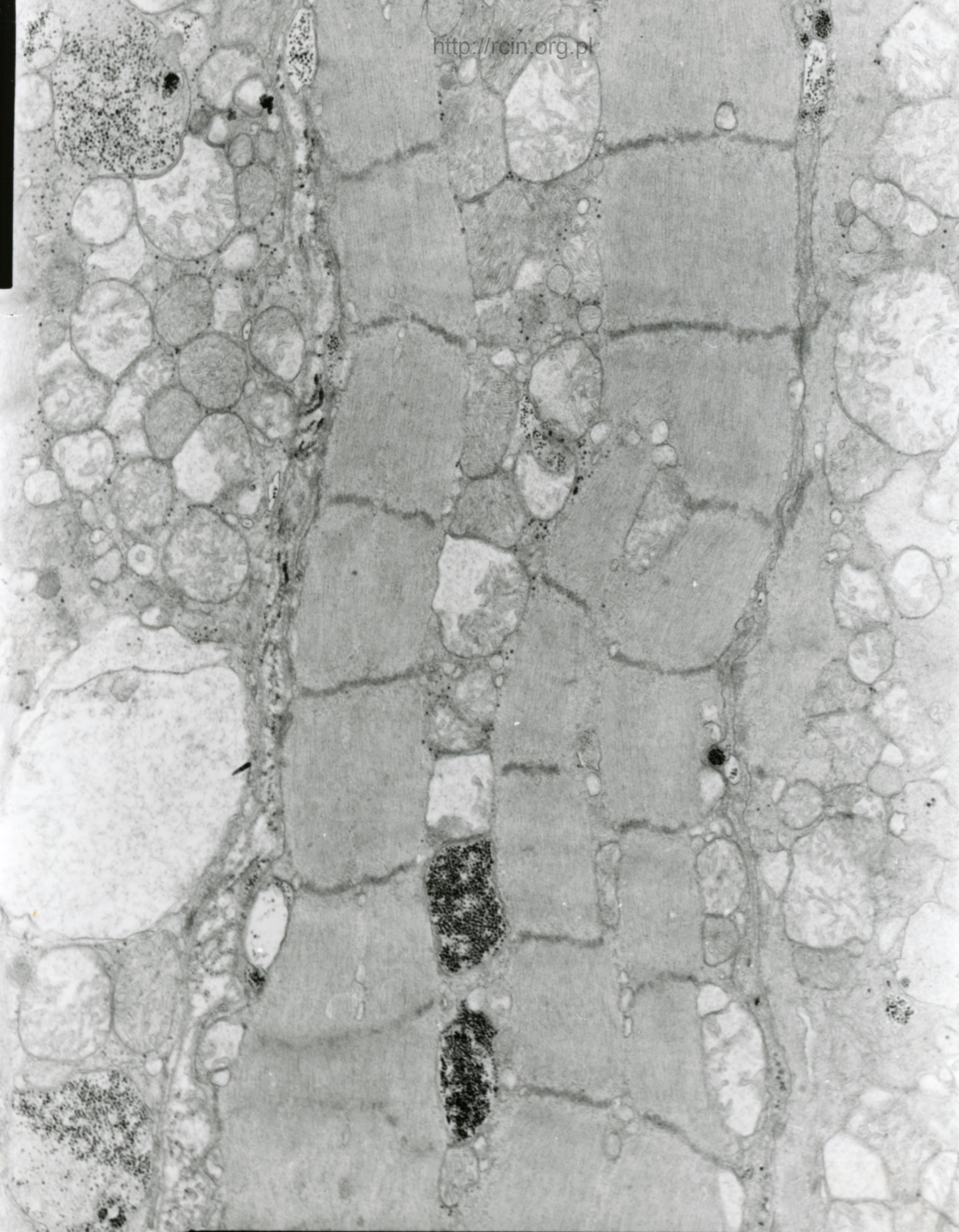
Fig. 4



AF 25/05/SERCE  
036217 80.0KV X5000

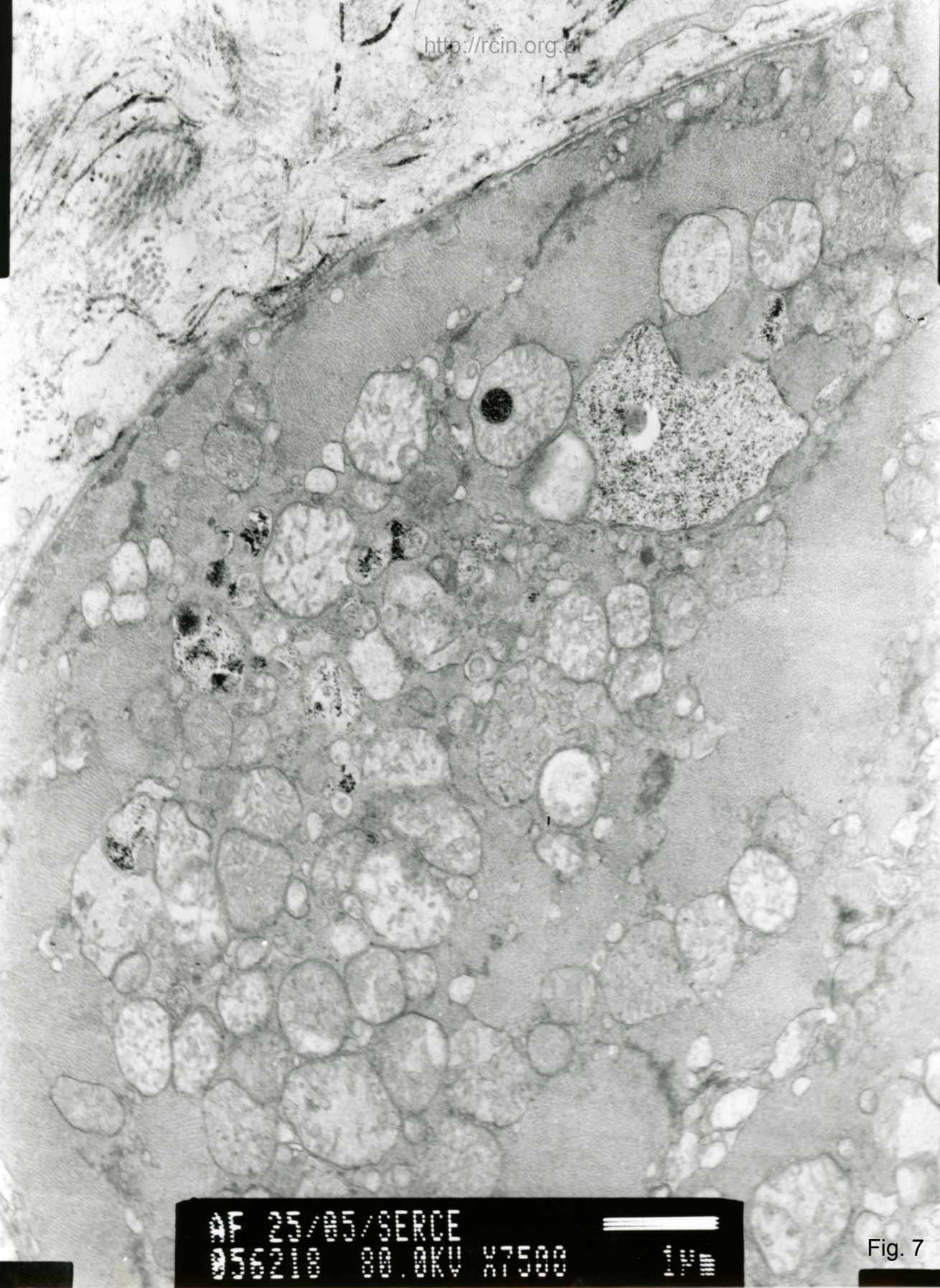


Fig. 5



AF 25/05/SERCE  
036222 00.0KV X7500

Fig. 6



AF 25/85/SERCE  
35000 80.0KV X7500

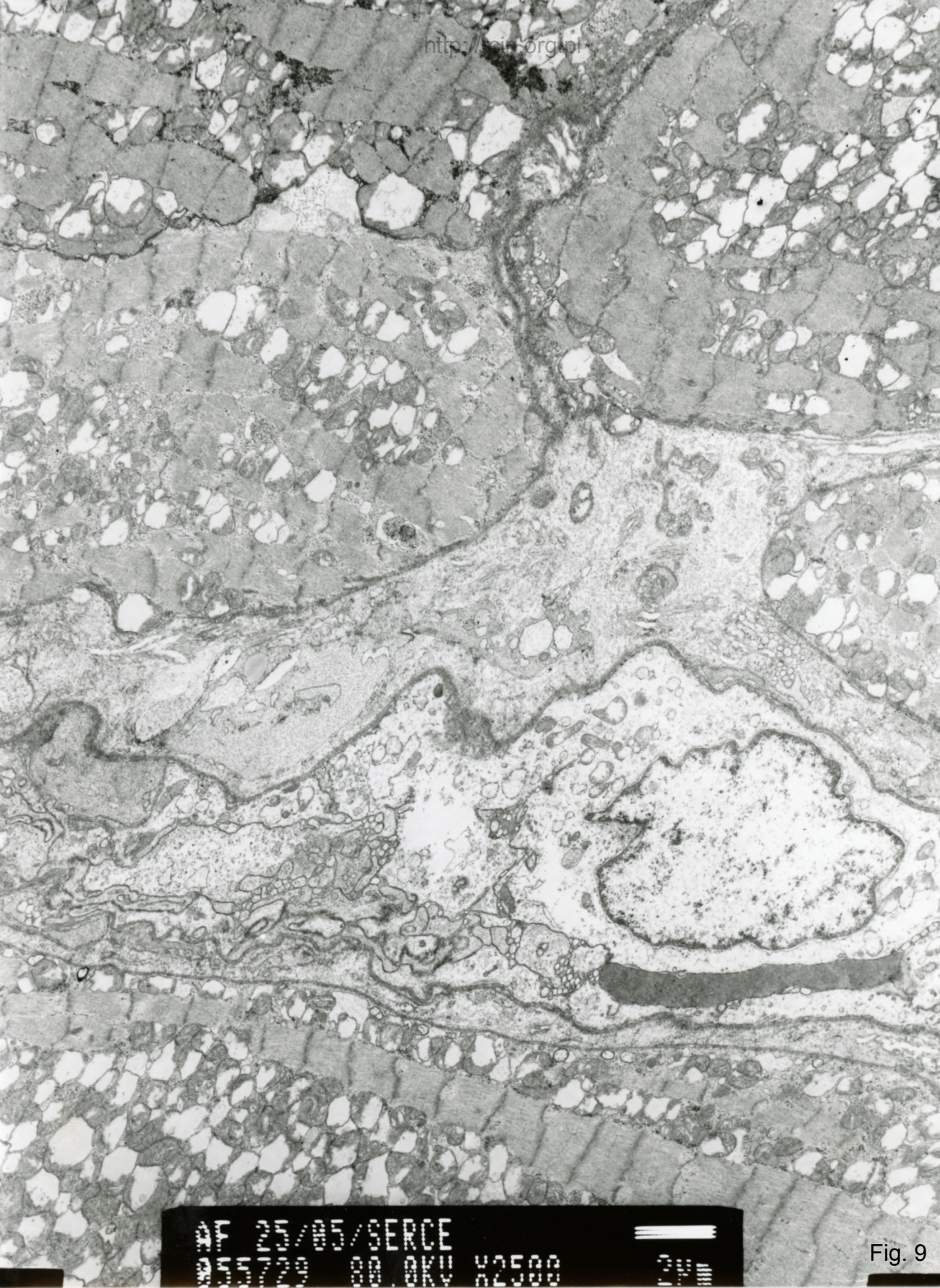
Fig. 7



AF 25/05/SERCE  
AF 25/05/00 AKU W15K 500

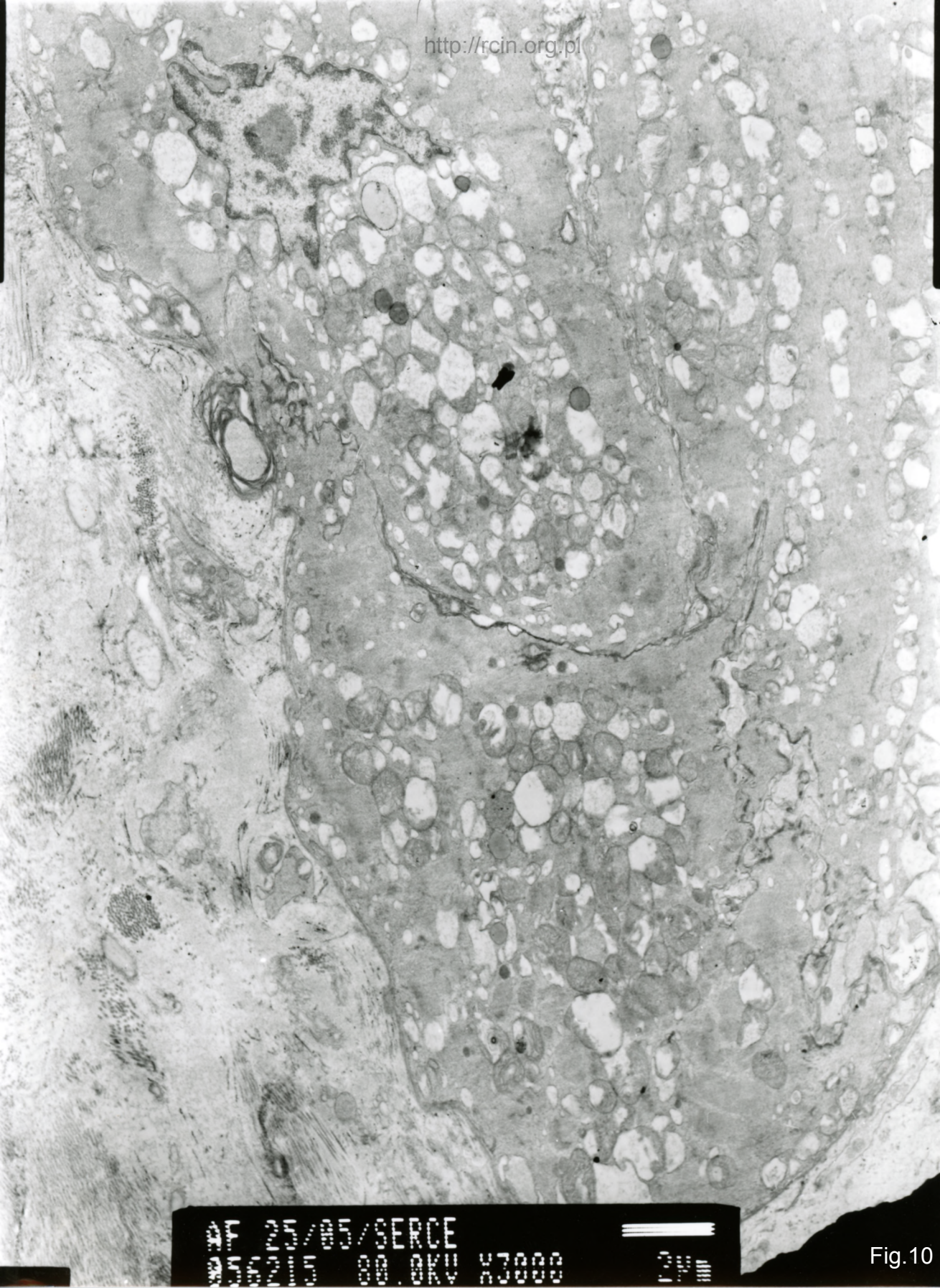
Fig. 8





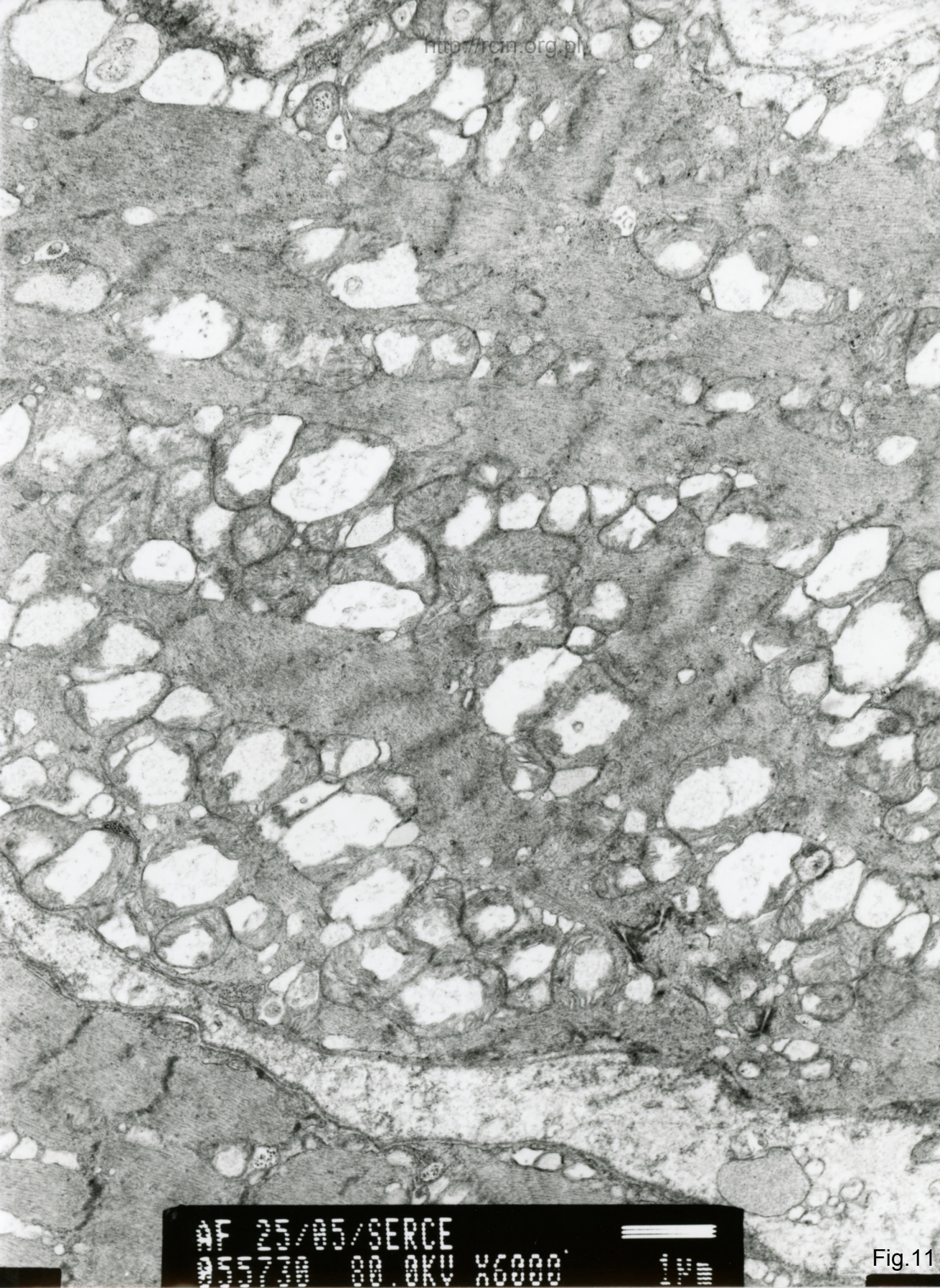
AF 25/05/SERCE  
00.0KV X2500

Fig. 9



AF 25/05/SERCE  
030205 80.0KV X3000

Fig. 10



25/05/SERCE  
00.0KV X6000

Fig.11



AF 25/05/SERCE  
AF 25/05/00 AKV UCOOO

Fig.12

25/05 komora (patrz też 24/05 – przedsiónek)

Rozpoznanie:

Ocena ultrastrukturalna wykazała zaburzenia w układzie sarkomerowym i w przebiegu miofibrili oraz znaczne uszkodzenia w obrębie mitochondriów (Fig.1-4). W sarkoplazmie obserwowano liczne skupiska ziaren glikogenu otoczone błoną, niektóre znajdowały się na wewnątrz mitochondriów (Fig. 5-8). Ponadto mitochondria w całym biopacie charakteryzowały się jasną macierzą i znacznym uszkodzeniem lub całkowitym brakiem grzebieni mitochondrialnych. W przestrzeni zewnątrzkomórkowej obserwowano nasilone włóknienie, a śródbłonki naczyń wykazywały cechy nekrozy (Fig.9-12).

Ultrastructural analysis revealed sarcomere aberrations, changes in the myofibrils' arrangement and significant damage within the mitochondria (Figs.1-4). Numerous membrane-surrounded clusters of glycogen granules were observed in the sarcoplasm, some of them were located inside of mitochondria (Figs. 5-8). In addition, mitochondria in the whole analyzed specimen were seriously altered, characterized by a bright mitochondrial matrix and partial or total loss of cristae. Abundant connective tissue was observed in the extracellular space and vascular endothelium showed features of necrosis (Figs. 9-12).